

Fig 1

2/23

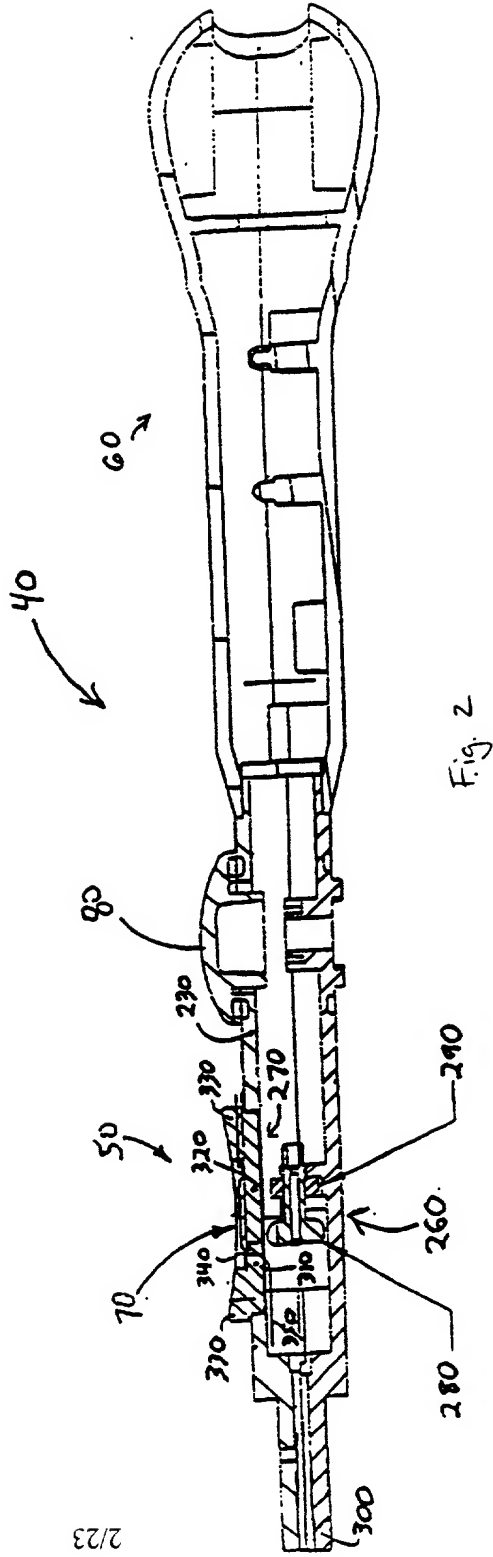


Fig. 2

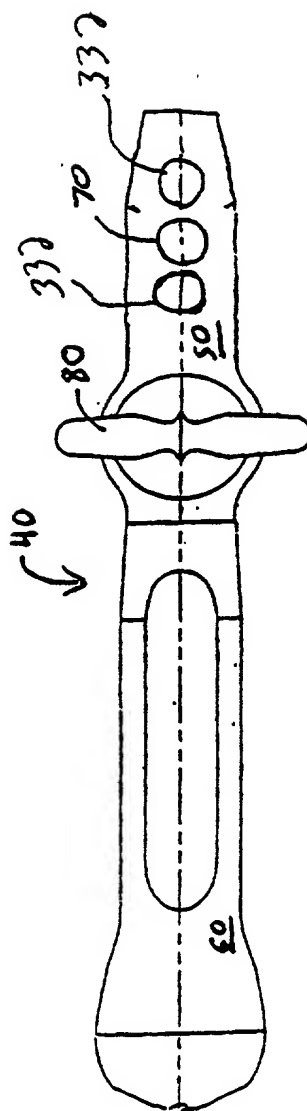


Fig. 3

4/23

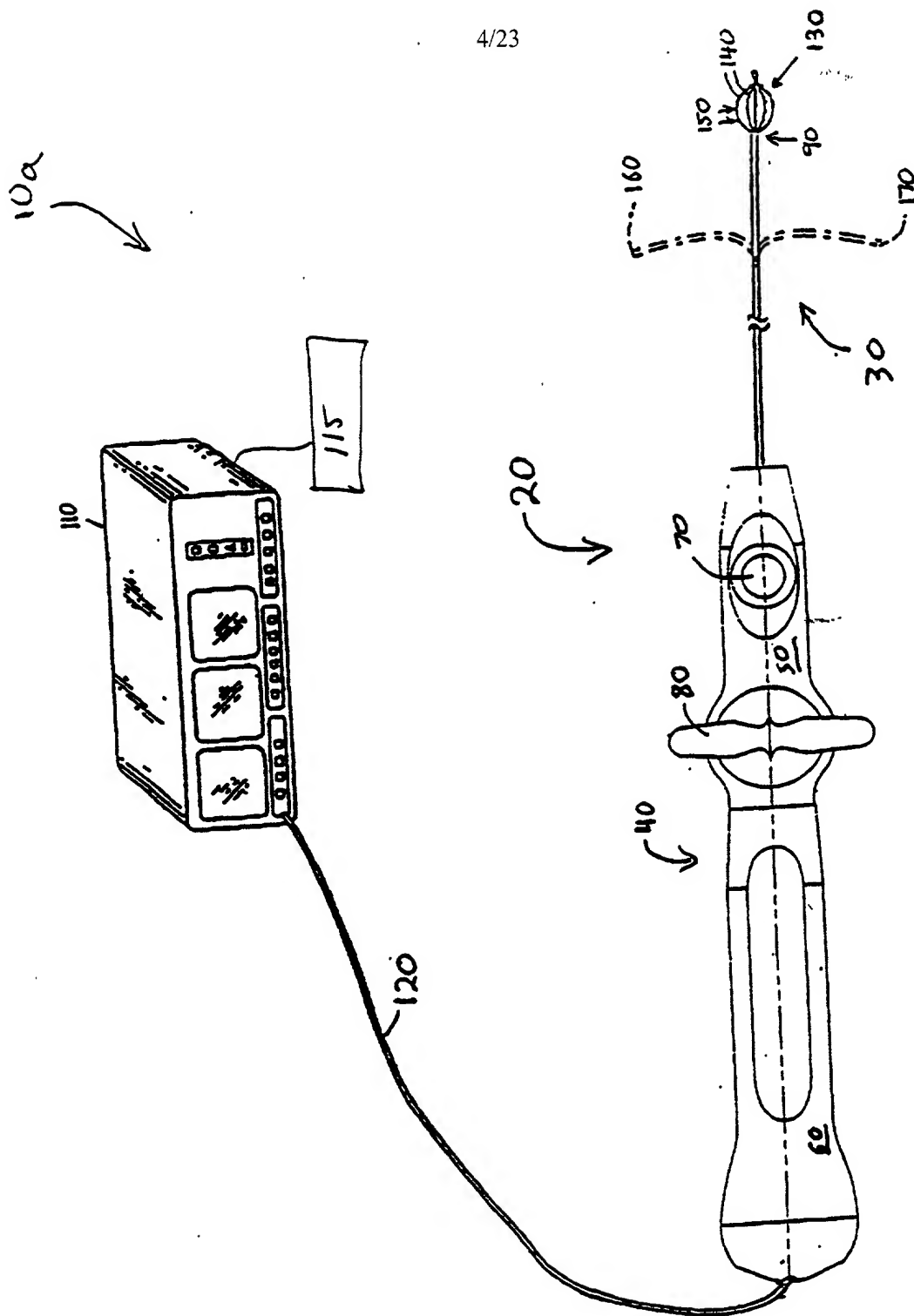


Fig. 4

209090-T9986001

5/23

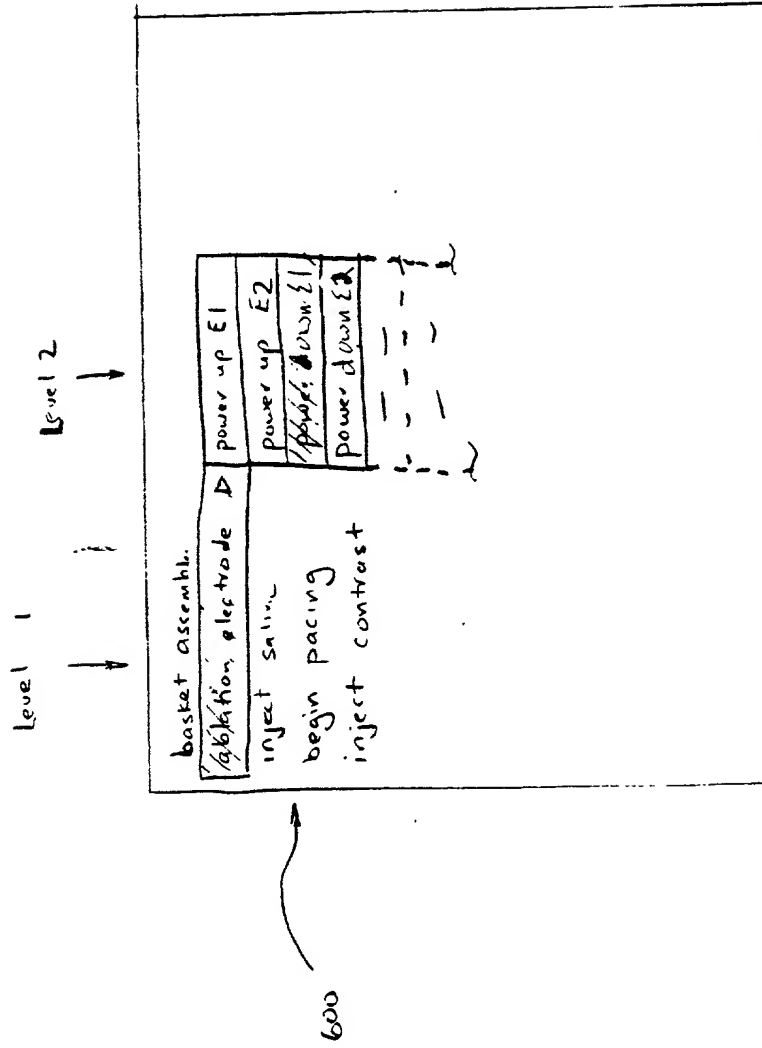


Fig. 5 A

2009090" 1998600T

7/23

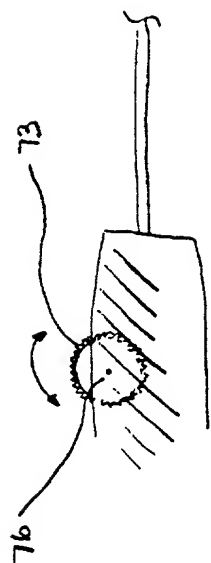


Fig. 6A

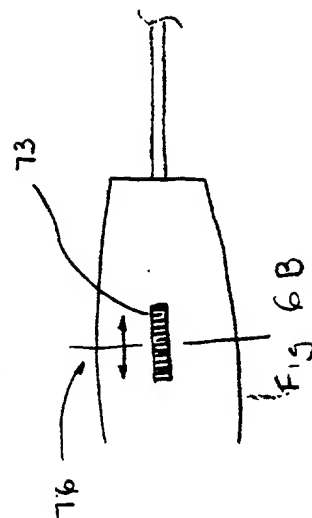


Fig. 6B

209090-19986001

8/23

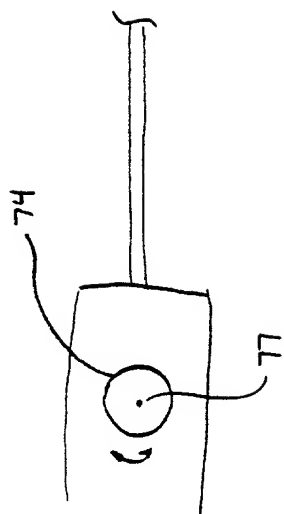


Fig. 7A

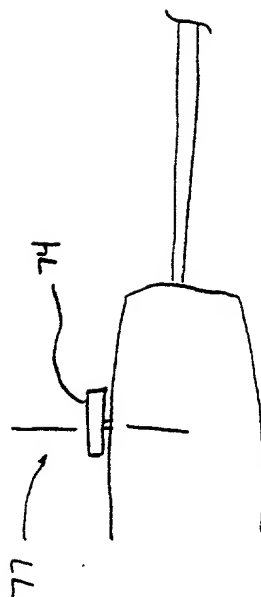


Fig. 7B

9/23

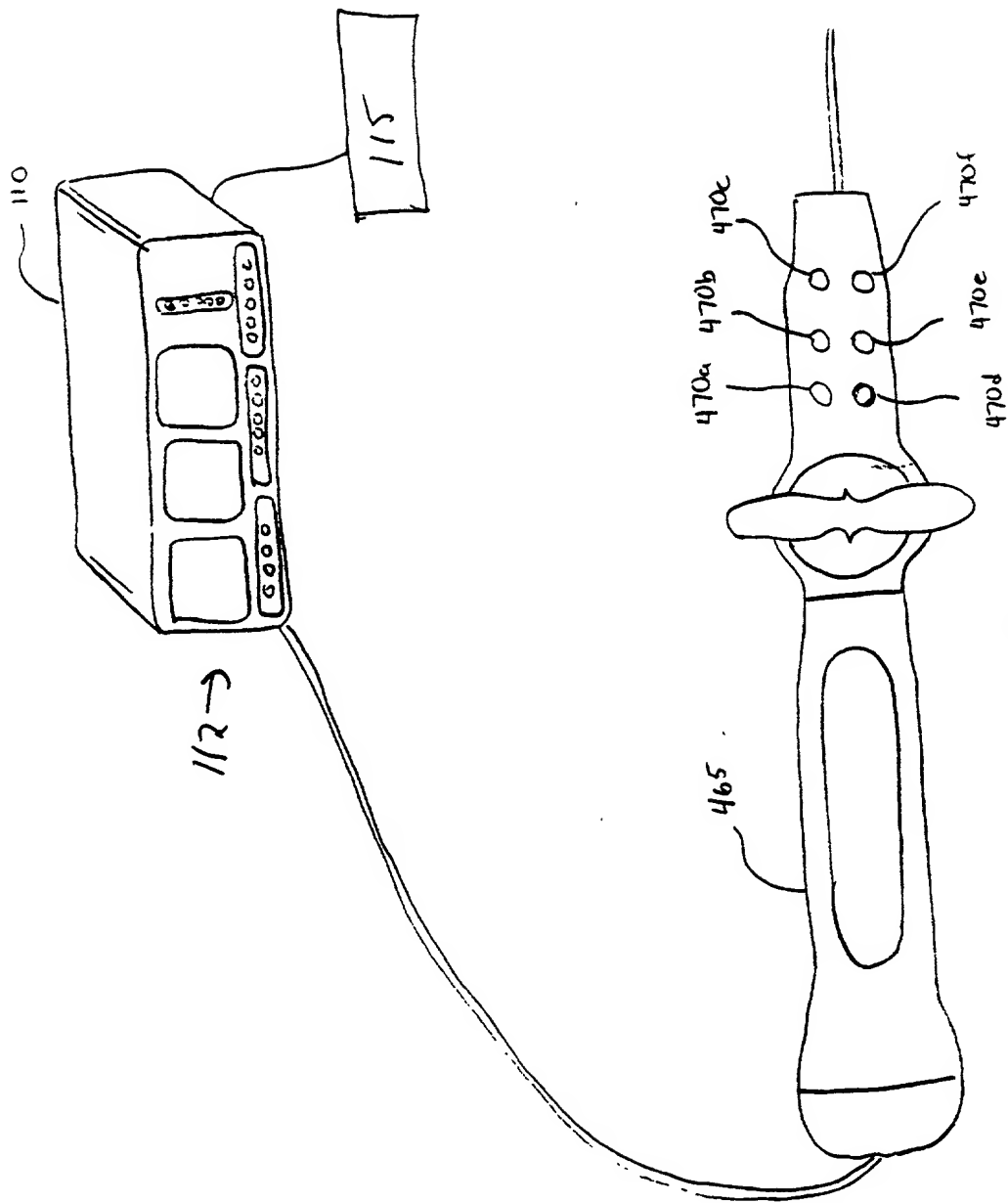
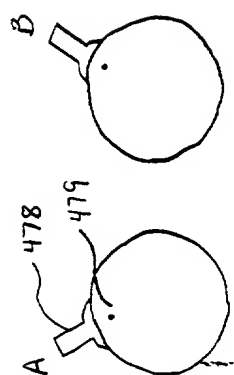
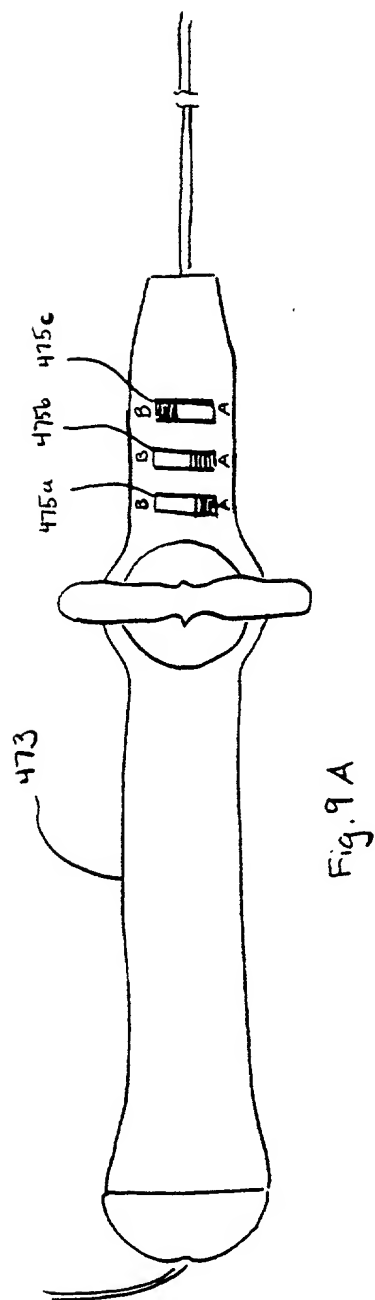


FIG. 8



10/23



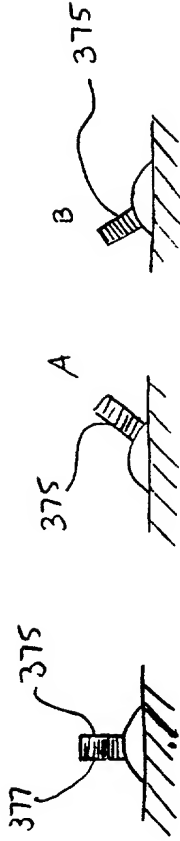


Fig. 10A

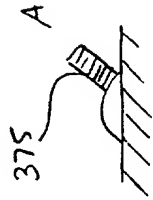


Fig. 10B



Fig. 10C



Fig. 11A



Fig. 11B



Fig. 11C

2099090-1998600T

12/23

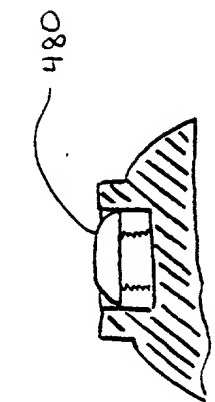


Fig. 12B

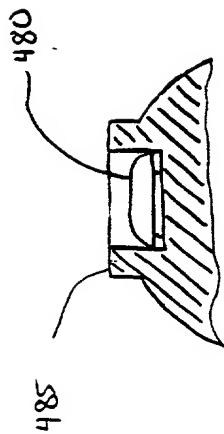


Fig. 12A

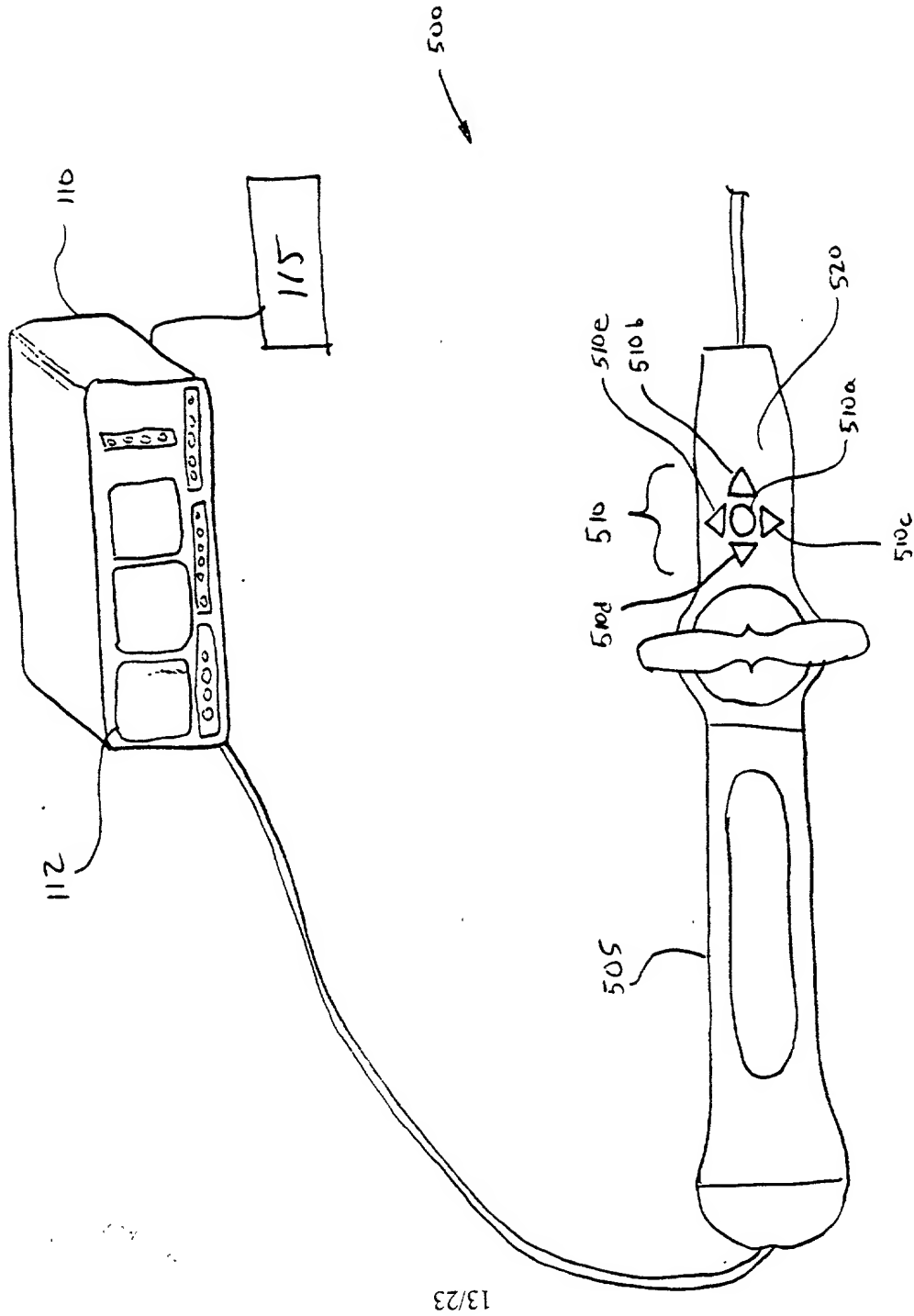
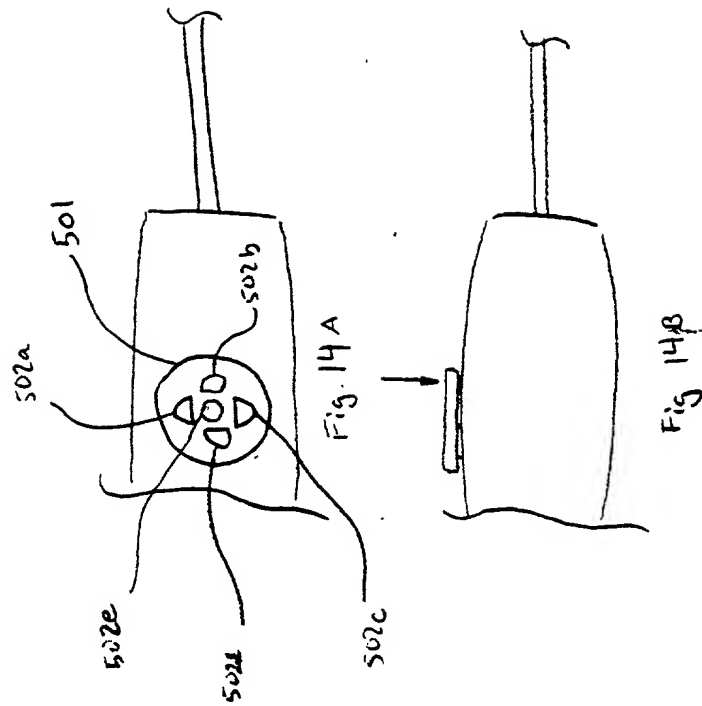
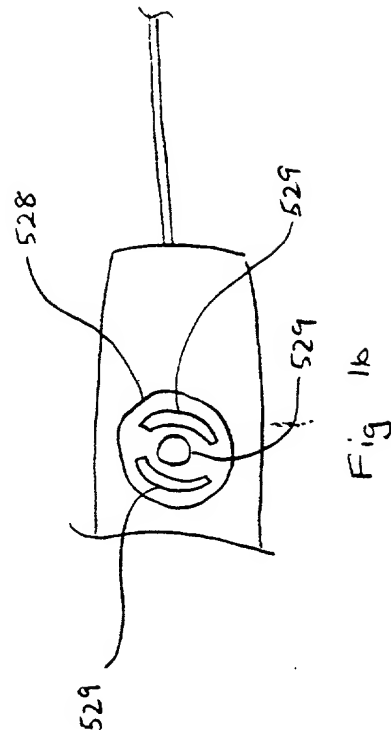
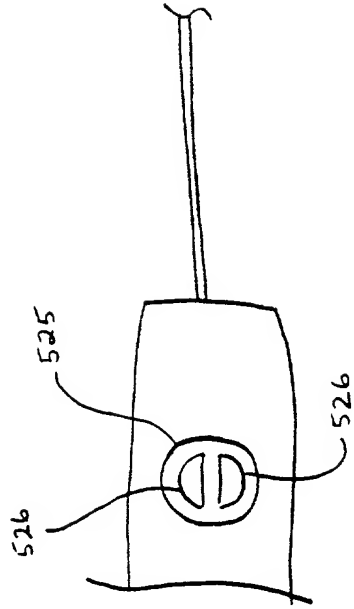


Fig. 13

14/23



15/23



2099090-1998600T

16/23

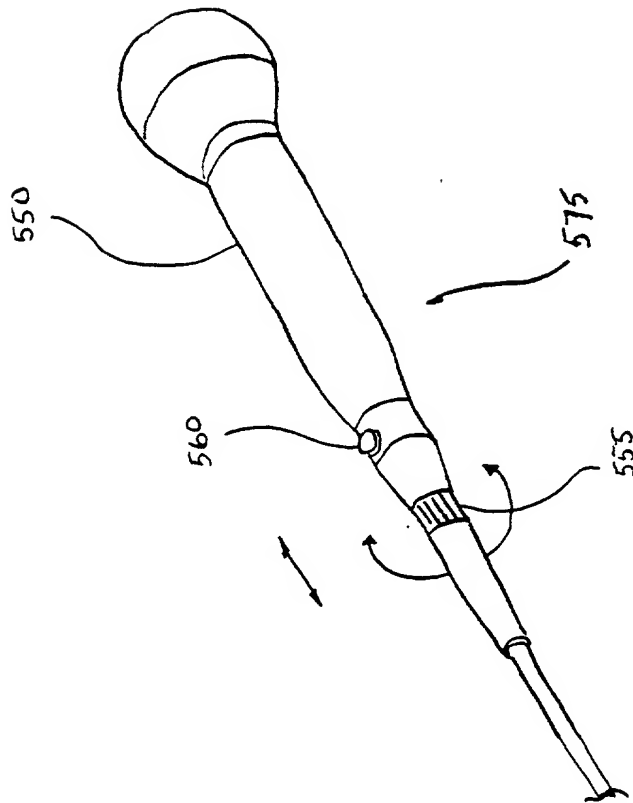


Fig 17A

209090-19986001

17/23

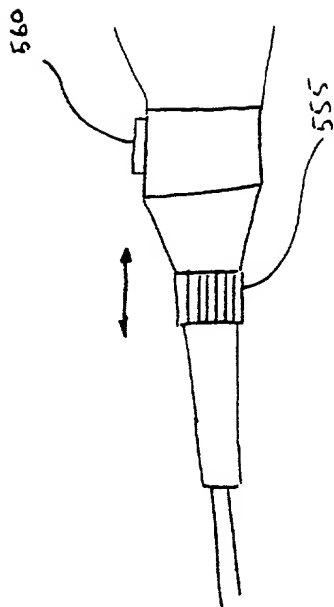


Fig 17B

209090-19986001



18/23

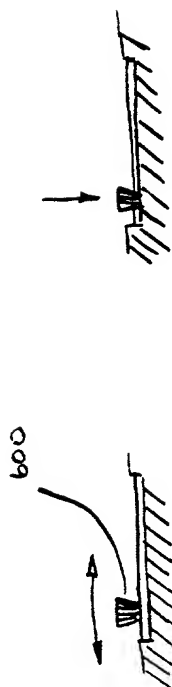


Fig. 18C

Fig. 18B

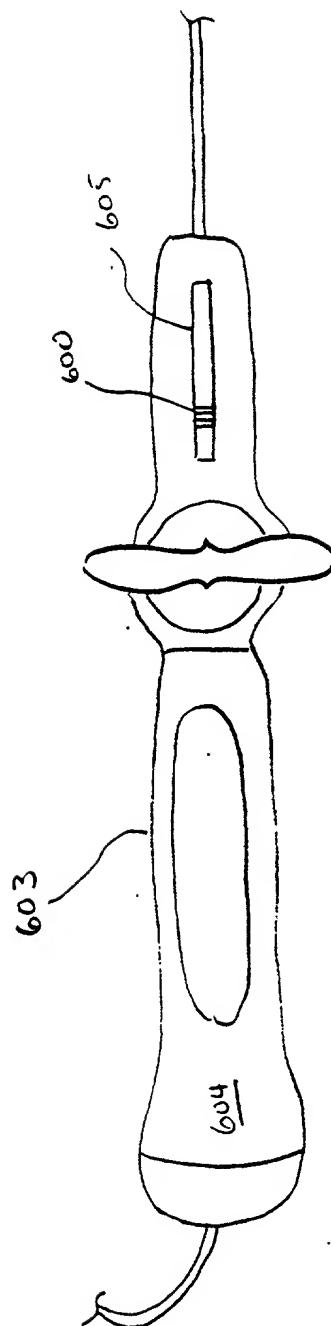


Fig. 18A

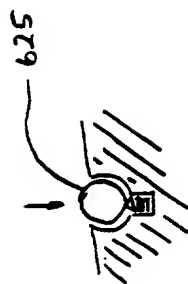


Fig. 19B

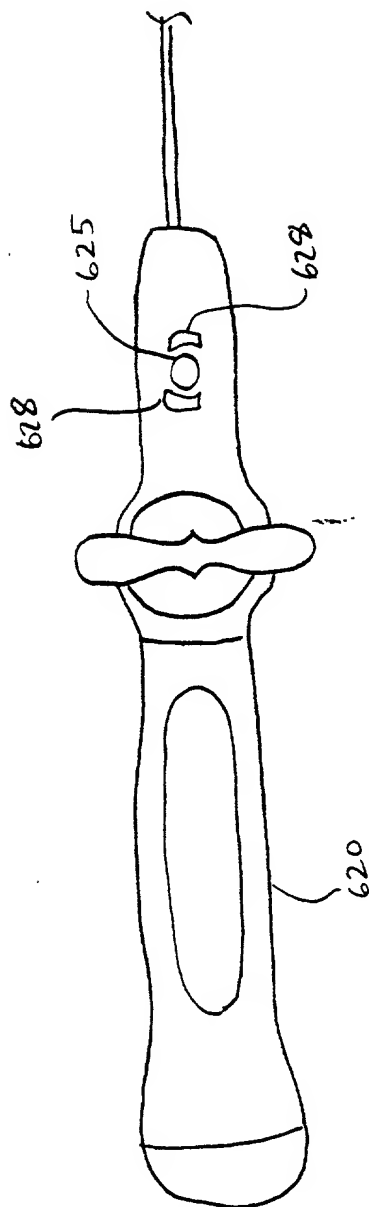


Fig. 19A

20/23

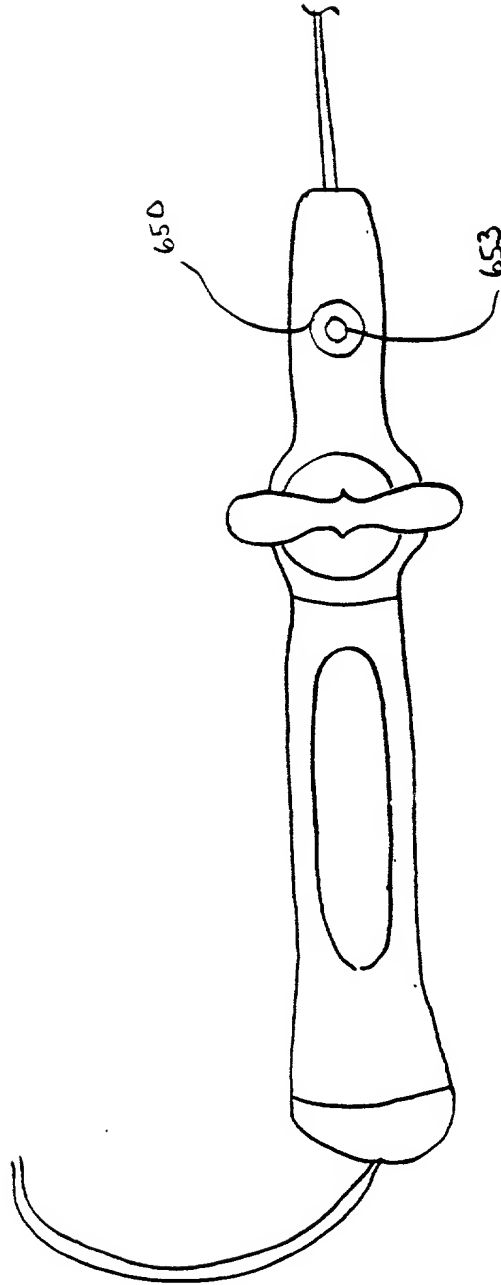


Fig 20

2009090-1998600T

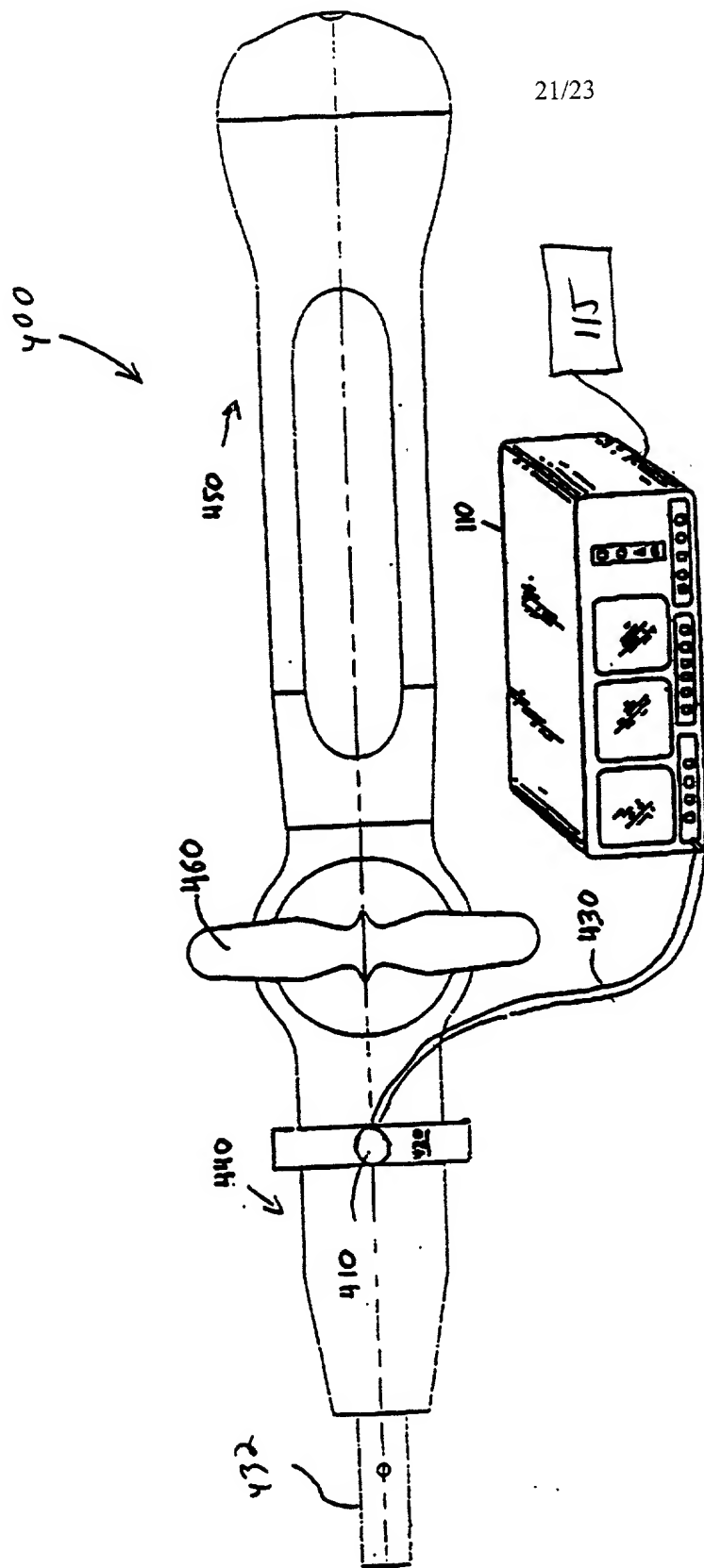


Fig. 21

209090-T998600T

22/23

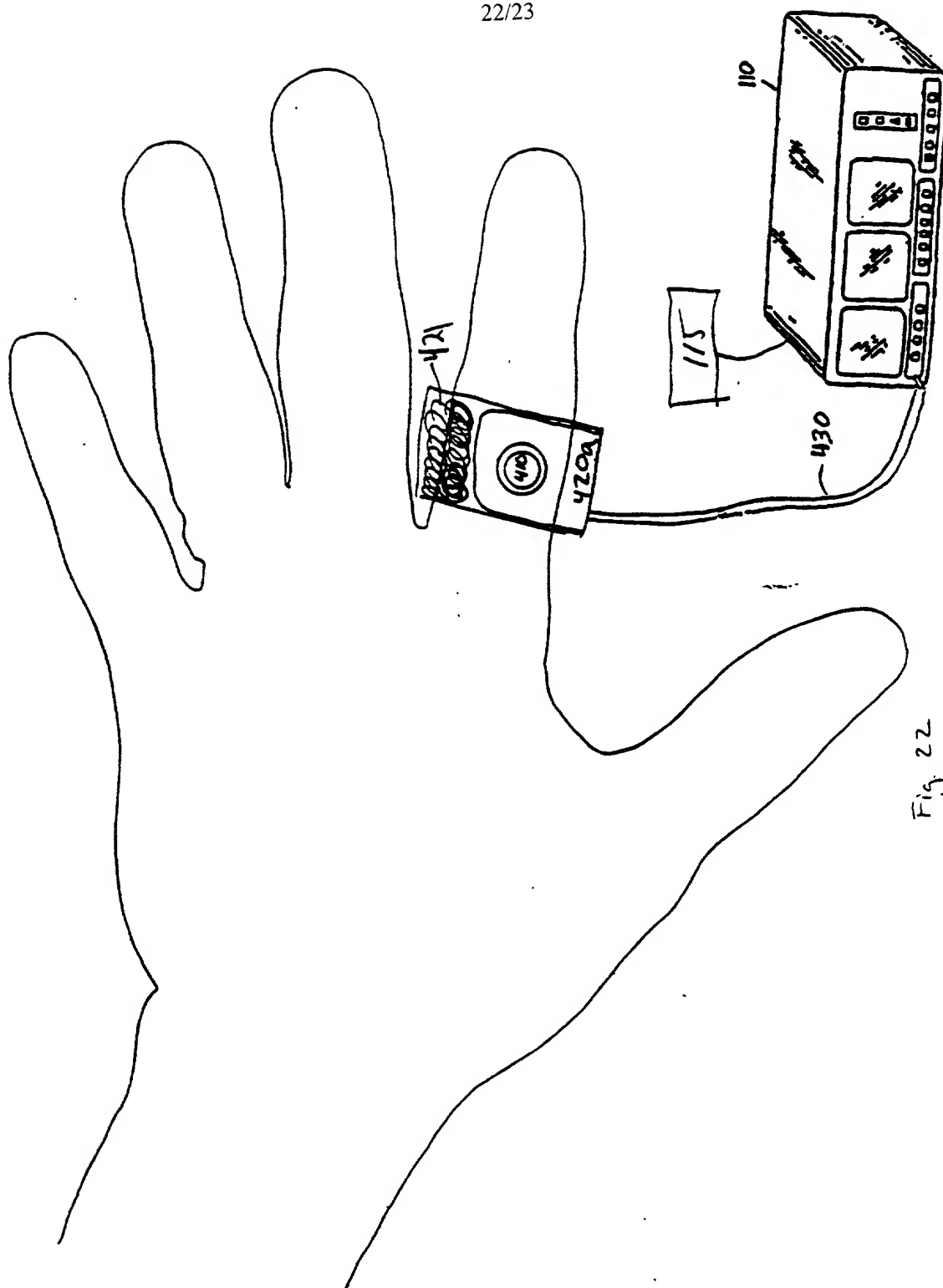


Fig 22

